

УДК 541.135.5

## ВЛИЯНИЕ КОНВЕКТИВНОГО СЛАГАЕМОГО В УРАВНЕНИИ НЕРНСТА–ПЛАНКА НА ХАРАКТЕРИСТИКИ ПЕРЕНОСА ИОНОВ В ЗАРЯЖЕННОМ КАПИЛЛЯРЕ СИНТЕТИЧЕСКОЙ МЕМБРАНЫ<sup>1</sup>

*Сулейманов С. С.<sup>2</sup>, Куриленко А. К.<sup>3</sup>, Лебедев К. А.<sup>4</sup>*

EFFECT OF A CONVECTIVE TERM OF THE NERNST-PLANK EQUATION ON THE IONS TRANSFER CHARACTERISTICS IN THE SYNTHETIC MEMBRANE CHARGED CAPILLARY

Suleymanov S. S., Kurilenko A. K., Lebedev K. A.

Within the framework of the Nernst-Plank model, a one-dimensional boundary value problem of stationary ion transfer through the charged media is set and solved with the account of a normal convective component. The problem is applied to a thin pore with charged walls pairing two solutions of different concentrations. Numerical and analytical methods of solution of a boundary value problem are given. The dependences of electrical strength in a pore and effective transfer numbers from the value of a convective component are investigated. It is shown that the Goldman's approximation can be applied to nano-size systems with some exceptions.

Keywords: nano-, ion transfer, Goldman's approximation, transfer number.

### Введение

Развитие теории переноса ионов в мембранных системах, включая транспорт в мембранах и их порах, представляет большой интерес, так как лежит в основе описания многочисленных технологических процессов, в частности, процессов очистки природных вод от примесей, биологических систем и нано-структур. В традиционных подходах математическое описание ионного транспорта, вызванного действием внешнего электрического поля, основывается на уравнениях переноса Нернста–Планка, не содержащего конвективного слагаемого. Однако в последнее время усилился интерес к изучению переноса ионов в процессах, где существенную роль играют три механизма переноса: диффузионный, электромиграционный и конвективный. Интерес представляет перенос ионов в самой мемbrane или перенос в тонких каналах мембранны, где существенно

влияние заряженных фиксированных ионогенных групп.

При моделировании переноса ионов через системы с наноразмерами увеличиваются требования к точности воспроизведения их характеристик. В ранних работах по исследованию переноса ионов в синтетических мембранных использовались различные приближения для решения возникающих краевых задач, однако вопрос о точности приближений остаётся открытым. В данной работе предлагаются способы решения возникающей краевой задачи и оценивается точность приближения по Гольдману, анализируются такие характеристики системы, как распределение напряжённости и числа переноса.

### 1. Постановка задачи

В работе [1] модель Нернста–Планка с учётом конвективной составляющей рассматривалась применительно к переносу

<sup>1</sup>Работа выполнена при поддержке РФФИ и Администрации Краснодарского края (06-03-96676).

<sup>2</sup>Сулейманов Сано Султанович, преподаватель кафедры общегуманитарных, социально-экономических и естественных дисциплин филиала Кубанского государственного университета в г. Горячий Ключ; e-mail: suleymanov@mail.ru.

<sup>3</sup>Куриленко Алексей Константинович, преподаватель кафедры общегуманитарных, социально-экономических и естественных дисциплин филиала Кубанского государственного университета в г. Горячий Ключ; e-mail: lex-exe@yandex.ru.

<sup>4</sup>Лебедев Константин Андреевич, д-р физ.-мат. наук, профессор кафедры прикладной математики Кубанского государственного университета; e-mail: klebedev@fpm.kubsu.ru.

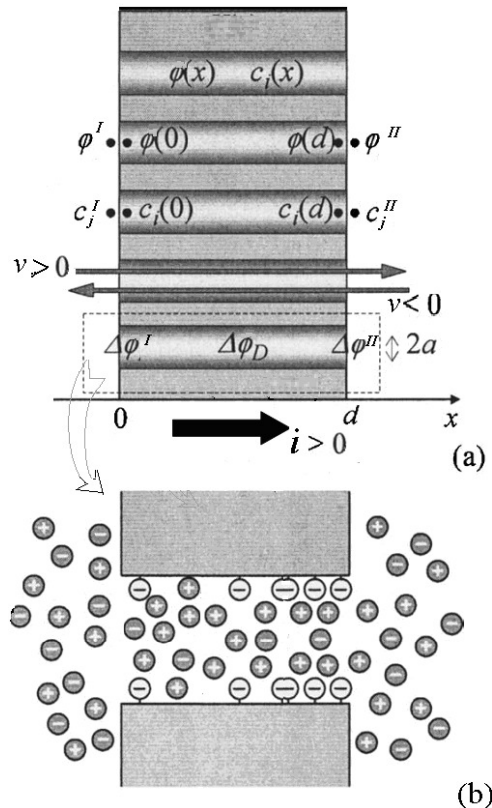


Рис. 1. а) Схема рассматриваемой системы, б) Схема нанопоры с подвижными положительными и отрицательными ионами внутри и фиксированными зарядами на её поверхности

ионов через диффузионный слой или незаряженный широкий нанокапилляр. В работе рассмотрена задача переноса ионов сильно-го электролита типа NaCl через заряженный нанокапилляр радиуса  $a$ , достаточно широкий для того, чтобы не принимать во внимание нарушение электронейтральности, и длиной  $d$ , соединяющий резервуары с раствором простого электролита с концентрациями соответственно  $c_j^I$  и  $c_j^{II}$ . Через нанопору протекает ток плотности  $i$  вследствие приложенной разности потенциалов  $u = \varphi^I - \varphi^{II}$ . Если через капилляр протекает экспериментально фиксируемый ток  $i_s$  (рис. 1), то плотность тока ионов можно найти по формуле  $i = i_s / \pi a^2$ . На границах нанопоры с раствором существуют Доннановские скачки потенциала  $\Delta\varphi^I$ ,  $\Delta\varphi^{II}$ , разность потенциала внутри мембранны  $\Delta\varphi_D$  и скачки концентраций на границах. Внутри мембранны на границах потенциал и концентрации обозначены  $\bar{\varphi}(0)$ ,  $\bar{\varphi}(d)$ ,  $\bar{c}_j(0)$ ,  $\bar{c}_j(d)$ , распределение потенциала и концентраций по длине нанопоры —  $\bar{\varphi}(x)$ ,  $\bar{c}_j(x)$ , скорость вынужденной конвекции —  $v$ . Предполагаем, что радиус капилляра в несколько раз больше, чем дебаевская длина, и нарушением электронейтральности можно

пренебречь ( $a = 3 \cdot 10^{-9}$  м,  $d = 10^{-5}$  м). Подобные системы рассматривались, например, в [2, 3], однако в этих работах конвективное слагаемое не учитывалось (рис. 1).

Введем следующие безразмерные параметры [1, 4]

$$\begin{aligned}
 \bar{X} &= \frac{\bar{x}}{d}, & \bar{J}_l &= \frac{|z_l|j_l F}{i_m^0}, \\
 C_l &= \frac{|z_l|c_l}{c_0}, & \bar{C}_l &= \frac{|z_l|\bar{c}_l}{|Q|}, \\
 \bar{d}_l &= \frac{\bar{D}_l}{\bar{D}_1(1 - z_1/z_A)}, & I &= \frac{i}{i_m^0}, \\
 \bar{\psi} &= \frac{|z_A|F}{RT} \bar{\varphi}, & \bar{E} &= \frac{|z_A|Fd}{RT} \bar{E}^r, \\
 K &= k_{1A} \left( \frac{c_0}{Q} \right)^2, & (1.1) \\
 V &= \frac{vd}{(1 - z_1/z_A)\bar{D}_1}, & T_l &= \frac{z_l j_l F}{i}, \\
 i_m^0 &= \frac{F}{d} \bar{D}_1 Q \left( 1 - \frac{z_1}{z_A} \right), & Z_l &= -\frac{z_l}{z_A}, \\
 l &= 1, 2.
 \end{aligned}$$

Здесь  $\bar{x}$  — пространственная координата в капилляре  $0 \leq \bar{x} \leq d$  (рис. 1);  $j_l$  — плотности потоков ионов (индекс  $l = 1$  — положительные ионы,  $l = 2 \equiv A$  — отрицательные ионы);  $c_l$ ,  $\bar{c}_l$  — мольные концентрации ионов в растворе и в капилляре соответственно;  $\bar{\varphi}$  — потенциал в капилляре;  $c_0 = z_1 c_1^I = -z_A c_A^I$  — эквивалентная концентрация в глубине раствора;  $\bar{E}^r = \frac{d\bar{\varphi}}{dx}$  — напряженность электрического поля;  $D_l$  — коэффициенты диффузии ионов;  $Q < 0$  — обменная ёмкость капилляра со стенками из катионообменного материала;  $z_l$  — заряды ионов ( $z_1 > 0$ ,  $z_A < 0$ );  $i$  — плотность протекающего тока;  $k_{1A}$  — константа Доннана;  $T_l$  — эффективные числа переноса ионов;  $i_m^0$  — параметр предельного тока в капилляре;  $R$  — газовая постоянная;  $F$  — константа Фарадея;  $T$  — абсолютная температура. Положительно заряженные переносимые ионы имеют заряд  $z_1 > 0$ , противоположный заряду обменной ёмкости  $Q < 0$  и поэтому называются противоионами, а отрицательно заряженные  $z_A < 0$  — коионами и обозначаются индексом  $l = A = 2$ .

Запишем задачу в безразмерном виде, следя [1],

$$\bar{J}_l = -\bar{d}_l \left( \frac{d\bar{C}_l}{d\bar{X}} + Z_l \bar{C}_l \frac{d\bar{\psi}}{d\bar{X}} \right) + V \bar{C}_l, \quad (1.2)$$

$$0 \leq \bar{X} \leq 1, \quad l = 1, A,$$

$$\bar{C}_1 - \bar{C}_A = 1, \quad (1.3)$$

$$\bar{J}_1 - \bar{J}_A = I. \quad (1.4)$$

Перенос ионов описывается расширенным уравнением Нернста–Планка с конвективным слагаемым (1.1), учитывая условия электронейтральности (1.2) и протекания электрического тока (1.3). Предполагается также выполнение условия стационарности

$$\bar{J}_j = \text{const.} \quad (1.5)$$

На границах мембрана/раствор действуют условия, вытекающие из равенства электрохимических потенциалов [1, 4]

$$\begin{aligned} [\bar{C}_1 \bar{C}_A = K(C^I)^2]_{\bar{X}=0}, \\ [\bar{C}_1 \bar{C}_A = K(C^{\prime\prime})^2]_{\bar{X}=1}. \end{aligned} \quad (1.6)$$

Краевые условия отражают постоянство концентраций в резервуарах, соединённых нанокапилляром

$$\begin{aligned} C|_{\bar{X}=0} = C^I = 1, \\ C|_{\bar{X}=1} = C^{\prime\prime}, \text{ где } C^{\prime\prime} = 0 \div 10. \end{aligned} \quad (1.7)$$

Задача переноса ионов через ионообменную мембранный систему при нулевой скорости конвекции ( $V=0$ ) подробно рассматривалась в [5], поэтому данную работу можно рассматривать как расширение исследования на случай присутствия дополнительной движущей силы в виде вынужденной или сопряжённой конвекции. С другой стороны, данная работа обобщает результаты работы [1] на случай наличия заряда  $Q$  в широком капилляре.

## 2. Вывод основных уравнений

Введём параметры

$$G_1 = \frac{\bar{J}_1}{\bar{d}_1} - \frac{\bar{J}_A}{\bar{d}_A}, \quad g_1 = \frac{1}{\bar{d}_1} - \frac{1}{\bar{d}_A},$$

$$G_2 = \frac{\bar{J}_1}{\bar{d}_1} + \frac{\bar{J}_A}{\bar{d}_A}, \quad g_2 = \frac{1}{\bar{d}_1} + \frac{1}{\bar{d}_A} = \frac{2}{\bar{d}_{1A}}$$

и основные электродиффузионные характеристики системы

$$\bar{d}_{1A} = \frac{\bar{d}_1 \bar{d}_A \left( \sum_{i=1}^2 |Z_i| \bar{C}_i \right)}{\sum_{i=1}^2 |Z_i| \bar{d}_i \bar{C}_i} = \bar{d}_1 \bar{t}_A + \bar{d}_A \bar{t}_1, \quad (2.1)$$

$$\bar{t}_1 = \frac{Z_1 \bar{d}_1 \bar{C}_1}{Z_1 \bar{d}_1 \bar{C}_1 + \bar{d}_A \bar{C}_A},$$

$$\bar{t}_A = \frac{\bar{d}_A \bar{C}_A}{Z_1 \bar{d}_1 \bar{C}_1 + \bar{d}_A \bar{C}_A},$$

$\bar{d}_{1A}$  — коэффициент диффузии электролита в мембране,  $\bar{t}_l$  — электромиграционные числа переноса ионов в капилляре. Далее рассмотрим случай простого 1:1 электролита  $|Z_j| = 1$ .

Эффективность работы системы по разделению ионов (к. п. д. системы) определяется эффективными числами переноса  $T_l$  [6], отражающими зарядовую селективность капилляра

$$\begin{aligned} T_1 &= \frac{z_1 j_1 F}{i} = \frac{z_1}{|z_1|} \frac{J_1}{I}, \\ T_A &= \frac{z_A j_A F}{i}, \quad T_1 + T_A = 1. \end{aligned} \quad (2.2)$$

Из (1.2), (1.3) имеем уравнение для напряженности электрического поля

$$\frac{d\psi}{d\bar{X}} = -\bar{E} = \left( -G_1 + g_1 \bar{C}_1(\bar{X})V + \frac{V}{\bar{d}_A} \right) \times \times \frac{1}{2\bar{C}_1(\bar{X}) - 1}. \quad (2.3)$$

Интегрируя (2.3), получим распределение потенциала по толщине слоя

$$\bar{\psi}(\bar{X}) = - \int_0^{\bar{X}} \bar{E}(t) dt, \\ 0 \leq \bar{X} \leq 1.$$

Для заданного тока можно определить падение потенциала на капилляре и тем самым вольтамперную кривую. Подставляя в (1.2) выражение для напряженности (2.3), получим

$$\frac{d\bar{C}_1}{d\bar{X}} = -\frac{J_1}{\bar{d}_1} + \left( G_1 - g_1 \bar{C}_1(\bar{X})V - \frac{V}{\bar{d}_A} \right) \times \times \frac{\bar{C}_1(\bar{X})}{2\bar{C}_1(\bar{X}) - 1} + \frac{V}{\bar{d}_1} \bar{C}_1(\bar{X}). \quad (2.4)$$

Эту формулу можно записать в виде, отражающем вклад различных потоков,

$$J_1 = -\bar{d}_{1A} \frac{d\bar{C}_1}{d\bar{X}} + \bar{C}_1 V + \bar{t}_1 I - \bar{t}_1 V \quad (2.5)$$

или

$$\bar{d}_{1A} \frac{d\bar{C}_1}{d\bar{X}} = \bar{C}_1 V - \Delta T I - \bar{t}_1 V, \quad (2.6)$$

где  $\Delta T = T - \bar{t}_1$  – разность между эффективным и электромиграционным числами переноса противоионов. Эффективное число переноса  $T_1$  зависит от перепада концентраций, протекающего тока, других параметров системы и находится из решения краевой задачи.

### 3. Методы решения краевой задачи

#### 3.1. Численное решение

Сведем исходную однослоиную электродиффузионную задачу (1.2)–(1.7) к двухточечной краевой задаче. Совокупность (2.4) и уравнения

$$\frac{dJ_1(\bar{X})}{d\bar{X}} = 0, \quad (3.1)$$

отражающего независимость потока от пространственной координаты, образуют систему обыкновенных дифференциальных уравнений.

Обозначим через

$$\mathbf{Y} = \{\bar{C}(\bar{X}_1), J_1(\bar{X}_1)\}^T$$

вектор, составленный из неизвестных исходных функций. С помощью вектора  $\mathbf{Y}(\bar{X})$  систему дифференциальных уравнений (2.4), (3.1) можно записать в общем виде

$$\frac{d\mathbf{Y}(\bar{X})}{d\bar{X}} = \mathbf{f}(\mathbf{Y}(\bar{X})). \quad (3.2)$$

Для граничных точек  $\bar{X}_1 = 0$  и  $\bar{X}_2 = 1$  следует записать условия Доннана

$$\bar{X}_1 = 0 : \varphi^{(1)} = \left[ \bar{C}_1 \bar{C}_A - K (C^I)^2 \right]_{\bar{X}_1}, \quad (3.3)$$

$$\bar{X}_2 = 1 : \varphi^{(2)} = \left[ \bar{C}_1 \bar{C}_A - K (C^{II})^2 \right]_{\bar{X}_2}. \quad (3.4)$$

Обозначим через  $\mathbf{F}$  и  $\boldsymbol{\theta}$  векторы

$$\mathbf{F} = \left\{ \varphi^{(1)}, \varphi^{(2)} \right\}^T,$$

$$\boldsymbol{\theta} = \{\theta_1, \theta_2\} = \{\bar{C}(\bar{X}_1 + 0), J_1(\bar{X}_1 + 0)\}^T.$$

Таким образом, имеем систему дифференциальных уравнений (3.2) и краевые условия (3.3), (3.4). Необходимо найти такой вектор  $\boldsymbol{\theta}$ , представляющий начальное значение для искомого вектора-функции  $\mathbf{Y}(\bar{X})$ , чтобы невязки  $\mathbf{F} = \{\varphi^{(1)}, \varphi^{(2)}\}^T$  на левой и правой границах обратились в нуль. Так как задача является однослоиной ( $0 \leq \bar{X} \leq 1$ ), применялся простой немодифицированный метод стрельбы.

Решение нелинейного векторного уравнения

$$\mathbf{F}(\boldsymbol{\theta}) = \mathbf{0}$$

строится классическим методом Ньютона [1]

$$\mathbf{F}'(\boldsymbol{\theta}_p) \mathbf{w}_p = -\mathbf{F}(\boldsymbol{\theta}_p),$$

$$\boldsymbol{\theta}_{p+1} = \boldsymbol{\theta}_p + \mathbf{w}_p,$$

где  $\mathbf{F}'(\boldsymbol{\theta}_p)$  – матрица производных векторной функции  $\mathbf{F}$  от векторного аргумента  $\boldsymbol{\theta}$  на

$p$ -м итерационном шаге;  $\mathbf{w}_p$  — вектор приращения искомого аргумента. Численный расчет матрицы производных  $\mathbf{F}'$

$$\mathbf{F}' = [a_{ik}] = \left[ \frac{\partial \varphi^{(i)}}{\partial \theta_k} \right]_{i,k=1,2}$$

осуществляется с помощью аппроксимации производных разделенными разностями второго порядка точности

$$a_{ik} = \frac{\partial \varphi^{(i)}}{\partial \theta_k} \approx \frac{1}{2} \Delta^{-1} (\varphi^{(i)}(\dots, \theta_k + \Delta, \dots) - \varphi^{(i)}(\dots, \theta_k - \Delta, \dots)),$$

$$i, k = 1, 2$$

на 4-х точечном шаблоне, что требует четырёх дополнительных процедур интегрирования системы (3.2) на каждом  $p$ -м итерационном шаге. Итерации проводятся до тех пор, пока не выполнится условие

$$\|\boldsymbol{\theta}_{p+1} - \boldsymbol{\theta}_p\| + \|\mathbf{F}(\boldsymbol{\theta}_{p+1})\| < \varepsilon,$$

где  $\varepsilon = 10^{-4} - 10^{-5}$  — заданная точность решения системы нелинейных алгебраических уравнений;  $\|\mathbf{F}\| = \sqrt{\sum_{i=1}^2 \varphi_i^2}$  — Евклидова норма вектора.

### 3.2. Приближённое аналитическое решение

Дифференциальное уравнение (2.4) с дробно-рациональной функцией от концентрации  $C_1$  в правой части

$$\frac{dC_1}{d\bar{X}} = R(C_1)$$

может быть проинтегрировано в элементарных функциях

$$\int_{C_1(0)}^{C_1} \frac{dt}{R(t)} = X.$$

Однако оно громоздко и неудобно для практического использования. Поэтому предлагается другой путь. Приближенное решение краевой задачи можно получить, решая исходное уравнение Нернста–Планка (1.2), предполагая что

$$-\frac{d\bar{\psi}}{d\bar{X}} = \bar{E} \approx \text{const.}$$

Используется известное приближение «постоянства электрической напряжённости» Гольдмана (“constant field assumption” GSF) [7], которое нашло широкое применение для описания переноса ионов в синтетических и биологических мембранах, например [8–11]. Согласно процедуре Гольдмана, требуется выбрать постоянную напряженность  $\bar{E}$  таким образом, чтобы удовлетворялись краевые условия (3.3)–(3.4), которые могут быть решены относительно граничных концентраций  $\bar{C}^I$ ,  $\bar{C}^{II}$  в капилляре

$$\bar{C}_j(0) = \bar{C}^I = \pm \frac{1}{2} + \sqrt{\frac{1}{4} + K(C^I)^2}, \quad (3.5)$$

$$\bar{C}_j(1) = \bar{C}^{II} = \pm \frac{1}{2} + \sqrt{\frac{1}{4} + K(C^{II})^2}. \quad (3.6)$$

В формулах (3.5)–(3.6) знак «+» использован для противоионов, а знак «–» — для катионов. Тогда имеем решение краевой задачи (1.2)–(1.7) с граничными концентрациями из (3.5)–(3.6)

$$\bar{C}_j(\bar{X}) = \frac{\bar{C}_j^I - \bar{C}_j^{II}}{1 - e^{\eta_j}} \exp(\eta_j \bar{X}) - \frac{\bar{C}_j^I e^{\eta_j} - \bar{C}_j^{II}}{1 - e^{\eta_j}},$$

$$J_j = \bar{d}_j \eta_j \frac{\bar{C}_j^I e^{\eta_j} - \bar{C}_j^{II}}{1 - e^{\eta_j}},$$

где  $\eta_j = Z_j \bar{E} + \frac{V}{\bar{d}_j}$ .

Приближение Гольдмана широко применяется для моделирования процессов переноса через мембранны [2,3] и капилляры [12,13] в сложных случаях, когда численное решение краевой задачи затруднительно. В условиях минитюаризации систем, достижении ими наноразмеров требования к точности воспроизведения свойств и характеристик мембранных систем повышаются. До сих пор остаётся невыясненным вопрос о возможной погрешности расчёта характеристик системы при таком приближении, когда в капиллярной или мембранный системе присутствует конвекция и исходные параметры меняются в широком диапазоне. Проблема в методе Гольдмана заключается в выборе константы  $\bar{E} \approx \text{const}$ . Ниже будет дана некоторая возможность выбора величины  $\bar{E}$ , которая позволяет достичь удовлетворительного соглашения с численным решением при расчёте концентрационных профилей, расчёте эффективных чисел переноса в случаях больших токов. При малых токах применение этого приближения не всегда оправдано.

Другая возможность приближённого решения краевой задачи (1.2), (3.3)–(3.4) — решение дифференциального уравнения (2.6) с краевыми условиями (3.5), (3.6). Если принять коэффициент диффузии электролита  $\bar{d}_{1A} \approx \text{const}$  и электромиграционное число переноса  $\bar{t}_1 \approx \text{const}$ , то краевая задача (2.6), (3.5), (3.6) решается аналитически. Имеем линейное уравнение первого порядка с постоянными коэффициентами

$$\mu \frac{d\bar{C}_1}{dX} - \bar{C}_1 = v, \text{ где } \mu = \frac{\bar{d}_{1A}}{V}.$$

Решение даётся следующей формулой:

$$\bar{C}_1(X) = \left( \bar{C}_1^I + v \right) \exp \left( \frac{\bar{X}}{\mu} \right) - v, \quad (3.7)$$

в которой  $v = -\bar{t}_1 - \Delta T_1(I/V)$  определяется через граничные условия  $\bar{C}_1^I, \bar{C}_1^{II}$

$$T_1 = \frac{V \bar{C}_1^I \exp(1/\mu) - \bar{C}_1^{II}}{I \exp(1/\mu) - 1} - \left( 1 - \frac{V}{I} \right) \bar{t}_1.$$

Второе приближение (3.7) позволяет добиться лучшего согласования распределения концентраций с численным решением по сравнению с методом Гольдмана, однако каждый раз приходится подбирать 2 параметра: коэффициент диффузии электролита  $\bar{d}_{1A}$  и электромиграционные числа переноса  $\bar{t}_1$ , (вместо одного  $\bar{E}$  в методе Гольдмана), что затруднительно для практического использования.

## 4. Анализ и результаты

### 4.1. Потоки ионов

Используя приближённое соотношение можно дать оценку вклада различных потоков в общий поток иона

$$\begin{aligned} J_1 &= J_1^1 + J_1^2 + J_1^3 + J_1^4 = \\ &= -\bar{d}_{1A} \frac{d\bar{C}_1}{dX} + \bar{t}_1 I - \bar{t}_1 V + \bar{C}_1 V. \end{aligned}$$

Когда безразмерная скорость конвекции равна плотности тока ( $I - V = 0$ ), уравнение принимает вид

$$J_1 = -\bar{d}_{1A} \frac{d\bar{C}_1}{dX} + \bar{C}_1 V.$$

В этом случае поток определяется только диффузией и конвекцией, электромиграционная составляющая будет равна нулю.

### 4.2. Распределение напряжённости электрического поля

Формула (2.4) упрощается при  $\bar{d}_1 \approx \bar{d}_A$

$$\frac{d\bar{\psi}}{d\bar{X}} = -E = -\frac{I - V}{(2\bar{C}_1(\bar{X}) - 1) d_1}. \quad (4.1)$$

Если  $\bar{C}_1 \approx 1$  (это справедливо, когда константа Доннана  $K$  мала и, следовательно, мало присутствие коионов в капилляре), то распределение напряжённости аппроксимируется константой

$$\frac{d\bar{\psi}}{d\bar{X}} = -\bar{E} \approx -\frac{I - V}{\bar{d}_1}, \quad (4.2)$$

однако это не даёт возможности исследовать селективность мембранный системы. Поэтому константу  $\bar{E}$  в методе Гольдмана предлагается выбирать из условия

$$\begin{aligned} \bar{E} &= \frac{I - V}{(2\bar{C}_1^I - 1)\bar{d}_1}, \text{ если } V > 0 \\ \bar{E} &= \frac{I - V}{(2\bar{C}_1^{II} - 1)}, \text{ если } V < 0, \end{aligned} \quad (4.3)$$

что даёт некоторую модификацию приближения по Гольдману (рис. 2).

Остальные параметры модели равны

$$C^I = 1, C^{II} = 0, d_1 = 0,5, d_A = 0,7, K = 1.$$

Однако, когда конвекция  $V$  направлена противоположно току и диффузии, хорошего приближения по числам переноса достичь не удаётся (табл. 1) даже при больших токах. Из рис. 2 видно, что напряжённость может отклоняться от константы значительно при  $\bar{X} \approx 0$  или  $\bar{X} \approx 1$ , поэтому, несмотря на привлекательную простоту приближения, нельзя рекомендовать его использование во всех случаях.

Распределение локальной напряжённости (2.3) можно переписать в виде

$$\frac{d\bar{\psi}}{d\bar{X}} = -\bar{E} = \frac{-I + V}{\Omega} - \sum_{i=1}^2 \bar{t}_i \frac{d \ln \bar{C}_i}{d\bar{X}},$$

где  $\Omega = Z_1 \bar{d}_1 \bar{C}_1 + \bar{d}_A \bar{C}_A$  — безразмерная величина электропроводности, зависящая от концентрации  $\bar{C}_j(\bar{X})$  ионов. Из этой формулы видно, что потенциал складывается из омической части, потенциала конвекции и концентрационного потенциала, причём два первых естественным образом объединяются в одно слагаемое.

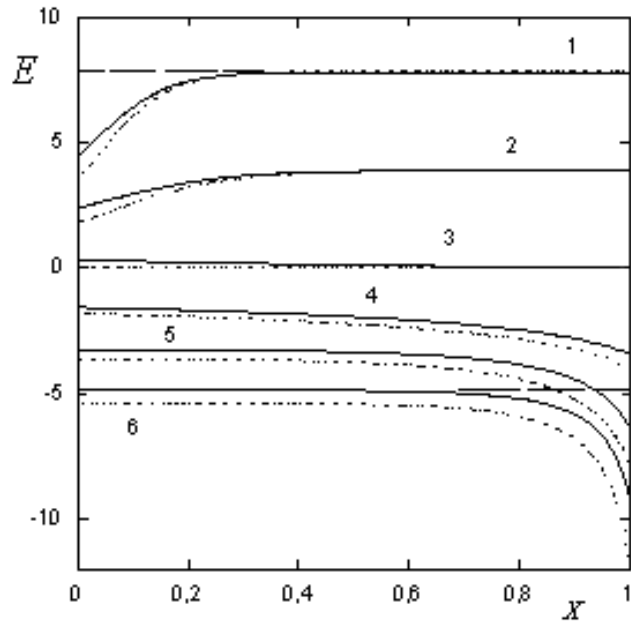


Рис. 2. Распределение напряжённости по толщине слоя  $I = -2$  при различных скоростях конвекции  $V$ . Кривые 1–6 соответствуют значениям  $V = -6, -4, -2, 0, 2, 4$ . Сплошная — численный расчёт по модели (1.2)–(1.7), короткий пунктир — по упрощённой формуле (4.1), длинный пунктир — по формуле (4.3)

#### 4.3. Эффективные числа переноса

Из формулы (2.5) получим выражение для эффективного числа переноса

$$T_1 = -\frac{\bar{d}_{1A}}{I} \frac{d\bar{C}_1}{dX} + \bar{t}_1 \left(1 - \frac{V}{I}\right) + \bar{C}_1 \frac{V}{I}.$$

Формула отражает вклад различных движущих сил в селективность, которые, меняясь по пространственной координате, в сумме составляют постоянную величину (1.5), (2.2). На рис. 3 показаны кривые зависимости  $T_1$  от плотности тока  $I$  при разных скоростях конвекции.

Видно, что с ростом тока значения  $T_1$  приближаются к единице независимо от величины и знака скорости конвекции, т. е. эффективность процесса разделения ионов приближается к 100 %, тогда как при малых токах разделение ионов практически не происходит. С ростом абсолютной величины скорости конвекции селективность ухудшается. Однако за счёт выбора знака скорости конвекции величиной селективности  $T_1$  можно управлять, делая её меньше или больше единицы.

#### 5. Выводы

Рассмотрено влияние нормальной составляющей конвективного слагаемого на перенос ионов простого электролита через плоский слой мембранны, когда тангенциальной составляющей конвекции можно пренебречь. Дано численное решение дифференциального уравнения с граничными условиями, предполагающими, что концентрации ионов в растворе на левой и правой границах слоя известны. Показано, что в случае линейного распределения потенциала метод Гольдмана даёт хорошее приближение для расчётов селективности системы при наличии нормальной составляющей сопряжённой электроконвекции. Однако в случае конвекции, действующей против сил электрического тока и диффузии, применение приближённых методов типа Гольдмана не всегда оправдано и для анализа явлений следует применять численные конечно-разностные методы. Рассмотрено влияние конвективного слагаемого на потоки ионов, напряжённость поля, эффективные числа переноса. Показано, что конвективный перенос может существенно изменять потоки ионов, вплоть до изменения их знака. В данной работе не рассматривалась такая важная характеристика как

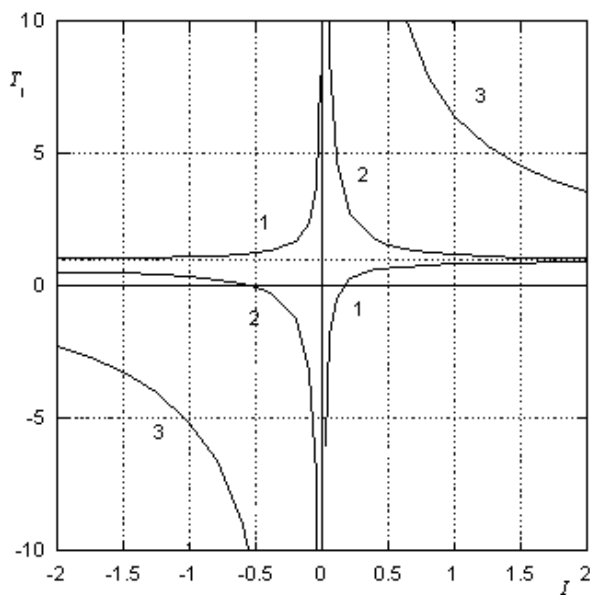


Рис. 3. Зависимость эффективного числа переноса  $T_1$  от плотности тока при различных значениях  $V$ . Кривые 1–3 соответствуют  $V = -6, 0, 6$ . Остальные параметры те же, что и на рис. 2.

Погрешность приближения $T_1$			
$I = -2$		$I = 2$	
$V = -6$	$V = 6$	$V = -6$	$V = 6$
2 %	12 %	64 %	4 %

вольтамперная кривая, на исследования которой, главным образом, были нацелены работы [2, 3, 12, 13], однако полученные результаты дополняют исследования [2, 3] и важны для понимания транспорта ионов через заряженные синтетические нанопоры.

### Литература

1. Никоненко В.В., Лебедев К.А., Сулейманов С.С. Влияние конвективного слагаемого в уравнении Нернста–Планка на характеристики переноса ионов через слой раствора или мембранны // Электрохимия. 2008. Т. 42. № 11. С.931-941.
2. Ramirez P., Mafe S., Aguilella V. M., Alcaraz A. Synthetic nanopores with fixed charges: An electrodiffusion model for ionic transport // PHYSICAL REVIEW. 2003. E. 68. P. 68–75.
3. Ramirez P., Mafe S., Alcaraz A., Cervera J. Modeling of pH-Switchable Ion Transport and Selectivity in Nanopore Membranes with Fixed Charges // J. Phys. Chem. B 2003. 107. P. 13178–13187.
4. Заболоцкий В.И., Никоненко В.И. Перенос ионов в мембранных. М.: Наука, 1996. 392 с.
5. Никоненко В.В., Заболоцкий В.И., Гнусин Н.П., Лебедев К.А. Влияние переноса ионов на предельную плотность тока в мембранный системе // Электрохимия. 1985. Т. 21. № 6. С. 784–790.
6. Manzanares J., Kontturi K. Encyclopedia of Electrochemistry. 2003. Vol. 2. Interfacial Kinetics and Mass Transport/ Eds. Bard A.J., Stratmann M., Calvo E.J. Indianapolis: Wiley Publ. Inc.: P. 87.
7. Pellicer J., Mafe S. A., Aguilella V.M. Ionic transport across porous charged membranes and the Goldman constant field assumption // Ber. Bunsenges. Phys. Chem. Vol. 90. 1986. P. 867–872.
8. Schlogl R. Electrodiffusion in freier Losung and geledenen Membranen // Ztschr. Phys. Chem. 1954. Bd. 1. No. 5. S. 305–339.
9. Minagawa M., Tanioka A., Ramirez P., Mafe S. Amino acid transport through cation exchange membranes: effects of pH on interfacial transport // J. Colloid Interface Sci. Vol. 188. 1997. P. 176–182.
10. Minagawa M., Tanioka A. Leucine transport through cation exchange membranes: effects of HCl concentration on interfacial transport // J. Colloid Interface Sci. Vol. 202. 1998. P. 149–154.
11. Lakshminarayanaiah N. Equation of Membrane Biophysics. N.Y.: Acad. Press. 1984. 186 p.
12. Pellicer J., Mafe S., and Aguilella V. M. Ionic

transport across porous charged membranes and the Goldman constant assumption // Ber. Bunsenges. Phys. Chem. 1986. Vol. 90. P. 867–872.

13. Ramirez P., Alcaraz A., Mafe S., Pellicer J. pH and supporting electrolyte concentration effects on the passive transport of cationic and anionic drugs through fixed charge membranes // J. Membr. Sci. 1999. Vol. 161. P. 143–155.

Ключевые слова: нано-, перенос ионов, приближение Гольдмана, число переноса.

---

Статья поступила 21 апреля 2009 г.

Филиал Кубанского государственного университета в г. Горячий Ключ

Кубанский государственный университет, г. Краснодар

© Сулейманов С. С., Куриленко А. К., Лебедев К. А., 2009